

УДК 681.511.26

А.Л. Виноградов, Ю.Л. Виноградов, С.Ю. Фёдоров

ЭКВИВАЛЕНТНАЯ ПЕРЕДАТОЧНАЯ ФУНКЦИЯ ПО ОГИБАЮЩЕЙ ДЛЯ СИСТЕМ С АМПЛИТУДНОЙ МОДУЛЯЦИЕЙ

Предложен метод получения передаточной функции по огибающей для систем с амплитудной модуляцией. Рассмотрены примеры получения передаточных функций по огибающей для типовых динамических звеньев. Проведен сравнительный анализ, показавший адекватность динамических характеристик исходной и эквивалентной систем.

Введение. Характеристики систем автоматического управления (САУ) с амплитудной модуляцией (АМ) изменяются периодически во времени, что существенно усложняет их математический анализ. Поэтому основная задача работ по общей теории САУ с АМ заключается в определении эквивалентных передаточных функций таких систем в разомкнутом и замкнутом состояниях с целью использования для их исследования методов, разработанных для линейных систем.

В работе [1] рассматриваются процессы прохождения амплитудно-модулированного сигнала с подавленной несущей через линейную систему. Доказываются существование и единственность решения интегрального уравнения, приводящее к передаточной функции (ПФ) системы по огибающей. В общем случае эта передаточная функция оказывается трансцендентной и даже для элементарных звеньев имеет сложный функциональный характер.

В работе [2] предлагается приближенный метод отыскания передаточной функции по огибающей для ограниченного класса линейных систем, содержащих резонансный фильтр, настроенный на частоту несущей. Метод гарантирует приемлемую для инженерных расчетов точность аппроксимации передаточной функции в полосе частот пропускания фильтра только в том случае, если объект управления не содержит резонансных звеньев с коэффициентом демпфирования, меньшим 0,7 в окрестности частоты несущей.

Общим ограничением, присущим известным методам приближенного вычисления огибающей выходного сигнала САУ с АМ, является требование постоянства фазового сдвига [3,4], что значительно сужает круг решаемых проблем.

Теоретические исследования. Поставим задачу определения эквивалентной передаточ-

ной функции по огибающей линейной системы без учета условия постоянства фазового сдвига. Рассмотрим систему с гармонической модуляцией (рисунок 1), состоящую из последовательно включенных: гармонического модулятора М, линейного стационарного динамического звена с передаточной функцией

$$W(s) = \frac{\sum_{i=0}^n a_i s^i}{\sum_{i=0}^m b_i s^i}, \quad (1)$$

где a_i и b_i — вещественные числа, $n < m$, и синхронного идеального демодулятора D_u .

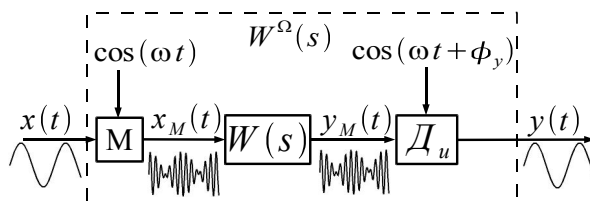


Рисунок 1 – Структурная схема системы с гармонической модуляцией

Входное воздействие $x(t)$ модулирует несущие колебания в модуляторе М, в результате чего на выходе последнего получается модулированный сигнал

$$x_M(t) = x(t)\cos(\omega t).$$

Сигнал на выходе динамического звена имеет вид:

$$y_M(t) = L^{-1}[X(s)W(s)] = y(t)\cos(\omega t + \varphi_y),$$

где $L^{-1}[\]$ – оператор обратного преобразования Лапласа, $X(s) = L[x(t)]$.

Идеальный демодулятор выделяет огибающую $y(t) = L^{-1}[Y(s)]$.

Считая частоту несущей ω параметром, определим параметрическую эквивалентную пере-

даточную функцию системы по огибающей в виде дробно рациональной функции:

$$W^\Omega(s) = \frac{Y(s)}{X(s)} = \frac{\sum_{i=0}^p c_i(\omega) s^i}{\sum_{i=0}^q d_i(\omega) s^i}, \quad (2)$$

где, $c_i(\omega)$ — коэффициенты полинома числителя порядка p и $d_i(\omega)$ — коэффициенты полинома знаменателя порядка q зависят от частоты несущей, $p < q$. С учетом того, что

$$x_M(t) = \frac{1}{2}(e^{j\omega t} + e^{-j\omega t})x(t),$$

изображение сигнала $y_M(t)$ можно представить в виде:

$$Y_M(s) = \frac{1}{2} X(s - j\omega)W(s) + \frac{1}{2} X(s + j\omega)W(s),$$

чему соответствует схема, представленная на рисунке 2.

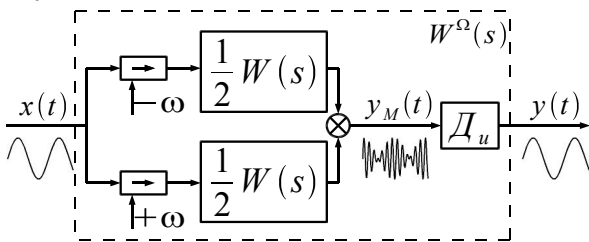


Рисунок 2 – Преобразованная структурная схема системы с гармонической модуляцией (→ – частотный сдвиг)

Для определения эквивалентной амплитудно-фазовой характеристики (АФХ) системы $W^\Omega(j\Omega)$ примем, что $x(t) = \cos(\Omega t)$.

Пусть АФХ $W(j\omega)$ динамического звена имеет вид, представленный на рисунке 3. Точками отмечено значение АФХ при частотах несущей $\omega = -\omega_1$ и $\omega = +\omega_1$ для $\frac{1}{2}W(j\Omega - j\omega_1)$ и

$\frac{1}{2}W(j\Omega + j\omega_1)$ соответственно, при $\Omega = 0$. Знаком «X» отмечено значение АФХ, которое принимает АФХ передаточной функции по огибающей, при нулевых частотах несущей и огибающей. Частоты ω и Ω могут принимать значения в диапазоне

$$-\infty \leq \omega \leq +\infty, -\infty \leq \Omega \leq +\infty.$$

Поскольку фазовый сдвиг эквивалентной системы по огибающей должен быть равен нулю

при частоте огибающей, равной нулю, а амплитуда сигнала на выходе эквивалентной системы должна быть равна амплитуде сигнала на выходе исходной, необходимо произвести поворот амплитудно-фазовых характеристик

$\frac{1}{2}W(j\Omega - j\omega_1)$ и $\frac{1}{2}W(j\Omega + j\omega_1)$ на углы $+\varphi(\omega_1) = \text{Arg}W(j\omega_1) = \frac{W(j\omega_1)}{|W(j\omega_1)|}$ и $-\varphi(\omega_1) = \text{Arg}W(-j\omega_1) = \frac{W(-j\omega_1)}{|W(-j\omega_1)|}$ соответственно (рисунок 4). Для некоторой частоты Ω_1 получаются два вектора, отмеченные цифрами 1 и 2, сумма которых даёт вектор $W^\Omega(j\Omega_1)$.

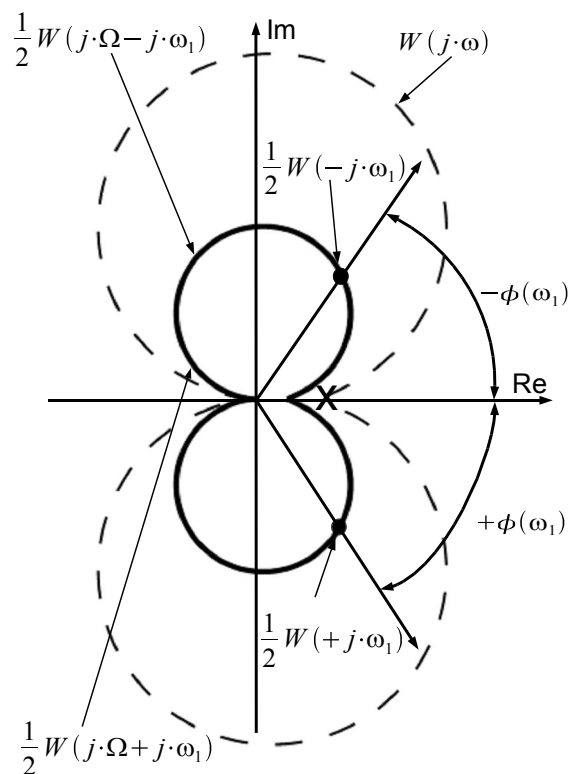


Рисунок 3 – Амплитудно-частотная характеристика

Кривая, изображённая пунктиром, соответствует $W(j\omega)$. Кривая, отмеченная штрихпунктиром, соответствует ПФ $W(j\cdot\Omega + j\omega_1)$, повернутой на угол $-\varphi(\omega_1)$. Сплошная чёрная кривая соответствует $W(j\Omega - j\omega_1)$, повернутой на угол $+\varphi(\omega_1)$.

Введя обозначение $s = j\Omega$, передаточную функцию по огибающей будем искать по выражению:

$$W^\Omega(s) = \frac{1}{2} \left(W(s - j\omega) \frac{W(j\omega)}{|W(j\omega)|} + W(s + j\omega) \frac{W(-j\omega)}{|W(-j\omega)|} \right) \quad (3)$$

Аналогичное выражение приводится в [7]. При этом накладывается требование постоянства φ . Также не поясняется, как вычисляется φ . В рассматриваемом случае $\varphi(\omega)$ определяется как сдвиг фазы исходной передаточной функции, зависящий от ω . Такой подход позволяет избавиться от ограничений, накладываемых в [4].

Покажем, что передаточную функцию $W^\Omega(s)$ можно представить в виде (2), если передаточная функция $W(s)$ имеет вид (1).

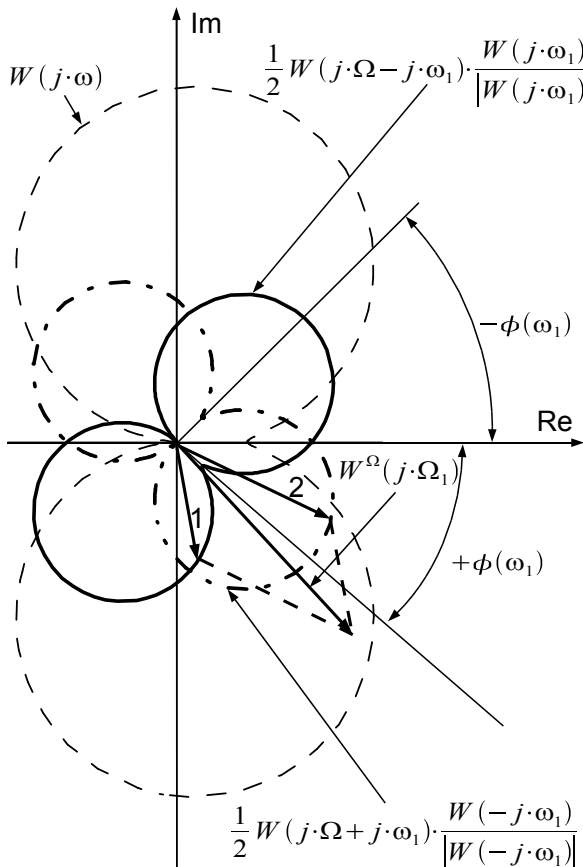


Рисунок 4 – АФХ исходной и преобразованных передаточных функций

Тогда функцию $W(s + j\omega)$ можно записать как:

$$W(s + j\omega) = \frac{a_n(s + j\omega)^n + a_{n-1}(s + j\omega)^{n-1} + \dots + a_0}{b_m(s + j\omega)^m + b_{m-1}(s + j\omega)^{m-1} + \dots + b_0} \quad (4)$$

Выражение $(s + j\omega)^i$ является биномом Ньютона и раскладывается в выражение вида:

$$C_0^i \cdot s^i + C_1^i \cdot s^{i-1} \cdot (j\omega)^1 + \dots + C_i^i \cdot (j\omega)^i, \quad (5)$$

где $i = \overline{0 \dots n}$.

Числитель выражения (4) с учетом (5) можно переписать:

$$a_n \left(C_0^n s^n + C_1^n s^{n-1} (j\omega)^1 + \dots + C_n^n (j\omega)^n \right) + a_{n-1} \left(C_0^{n-1} s^{n-1} + C_1^{n-1} s^{n-2} (j\omega)^1 + \dots + C_{n-1}^{n-1} (j\omega)^{n-1} \right) + \dots + a_0 \quad (6)$$

Выделим действительную и мнимую части. Пусть $u = 2k$, $v = 2k + 1$, $k \in Z$. Выражение (6) можно представить как:

$$a_n \left(\sum_{u=0}^n C_u^n s^{n-u} (j\omega)^u + \sum_{v=1}^n C_v^n s^{n-v} (j\omega)^v \right) + a_{n-1} \left(\sum_{u=0}^{n-1} C_u^{n-1} s^{n-1-u} (j\omega)^u + \sum_{v=1}^{n-1} C_v^{n-1} s^{n-1-v} (j\omega)^v \right) + \dots + a_0$$

Поскольку u принимает чётные значения, а v – нечетные, тогда выражение $(j\omega)^u$ можно переписать в виде $(-1)^{\frac{u}{2}}$, а выражение $(j\omega)^v$ – в виде $j(-1)^{\frac{v-1}{2}}$. Тогда числитель можно представить в виде

$$A_0 + j \cdot B_0,$$

где

$$A_0 = a_n \cdot \left(\sum_{u=0}^n C_u^n s^{n-u} (-1)^{\frac{u}{2}} \omega^u \right) + a_{n-1} \cdot \left(\sum_{u=0}^{n-1} C_u^{n-1} s^{n-1-u} (-1)^{\frac{u}{2}} \omega^u \right) + \dots + a_0,$$

$$B_0 = a_n \cdot \left(\sum_{v=1}^n C_v^n s^{n-v} (-1)^{\frac{v-1}{2}} \omega^v \right) + a_{n-1} \cdot \left(\sum_{v=1}^{n-1} C_v^{n-1} s^{n-1-v} (-1)^{\frac{v-1}{2}} \omega^v \right) + \dots + a_0 \omega.$$

Или после сокращения:

$$A_0 = \sum_{k=0}^n a_k \cdot \left(\sum_{u=0}^k C_u^k s^{k-u} \cdot (-1)^{\frac{u}{2}} \omega^u \right), \quad (7)$$

$$B_0 = \sum_{k=0}^n a_k \cdot \left(\sum_{v=1}^k C_v^k s^{k-v} \cdot (-1)^{\frac{v-1}{2}} \omega^v \right). \quad (8)$$

Изложенное выше справедливо и для знаменателя передаточной функции (4) $A_1 + jB_1$, где:

$$A_1 = \sum_{k=0}^m b_k \cdot \left(\sum_{u=0}^k C_u^k \cdot s^{k-u} \cdot (-1)^{\frac{u}{2}} \cdot \omega^u \right), \quad (9)$$

$$B_1 = \sum_{k=0}^m b_k \left(\sum_{v=1}^k C_v^k s^{k-v} (-1)^{\frac{v-1}{2}} \omega^v \right). \quad (10)$$

Тогда (4) примет вид:

$$W(s + j\omega) = \frac{A_0 + jB_0}{A_1 + jB_1}. \quad (11)$$

Передаточная функция $W(s - j\omega)$ имеет вид:

$$W(s - j\omega) = \frac{a_n(s - j\omega)^n + a_{n-1}(s - j\omega)^{n-1} + \dots + a_0}{b_m(s - j\omega)^m + b_{m-1}(s - j\omega)^{m-1} + \dots + b_0}. \quad (12)$$

Выражения (4) и (12) являются комплексно сопряжёнными. Это следует из того, что для коэффициентов A_0, A_1 появляется дополнительный множитель перед ω^u , равный $(-1)^u$, а так как u принимает только чётные значения, имеем $(-1)^u = 1$. Это означает, что коэффициенты A_0 и A_1 для функций (8) и (12) равны. В свою очередь, перед коэффициентом ω^v появляется множитель $(-1)^v$, а v принимает только нечётные значения, следовательно, $(-1) \cdot (-1)^{v-1} = -1$. Коэффициенты B_0 и B_1 для функций (4) и (12) противоположны по знаку. Таким образом, имеем:

$$W(s - j\omega) = \frac{A_0 - jB_0}{A_1 - jB_1}. \quad (13)$$

Подобным образом получаем выражения для функций $W(j\omega)$ и $W(-j\omega)$:

$$W(j\omega) = \frac{E_0 + jF_0}{E_1 + jF_1}; \quad (14)$$

$$W(-j\omega) = \frac{E_0 - jF_0}{E_1 - jF_1}, \quad (15)$$

где:

$$E_0 = \sum_{u=0}^n a_u (-1)^{\frac{u}{2}} \omega^u, \quad (16)$$

$$F_0 = \sum_{v=1}^n a_v (-1)^{\frac{v-1}{2}} \omega^v, \quad (17)$$

$$E_1 = \sum_{u=0}^m b_u (-1)^{\frac{u}{2}} \omega^u, \quad (18)$$

$$F_1 = \sum_{v=1}^m b_v (-1)^{\frac{v-1}{2}} \omega^v. \quad (19)$$

Подставляя (11), (13), (14), (15) в выражение (3), и после упрощения получаем:

$$W^\Omega(s) = \frac{\left((A_0 \cdot A_1 + B_0 \cdot B_1) \cdot (E_0 \cdot E_1 + F_0 \cdot F_1) + (B_0 \cdot A_1 - B_1 \cdot A_0) \cdot (E_1 \cdot F_0 - E_0 \cdot F_1) \right)}{\sqrt{(E_0^2 + F_0^2) \cdot (E_1^2 + F_1^2) \cdot (A_1^2 + B_1^2)}}. \quad (20)$$

Моделирование. Проверим адекватность полученной эквивалентной передаточной функции и передаточной функции исходной системы для 2-х случаев.

Случай 1. Получим передаточную функцию по огибающей модулированного сигнала для передаточной функции в виде аperiodического звена вида:

$$W(s) = \frac{K}{T \cdot s + 1}.$$

По формулам (7-10), (16-19) вычислим коэффициенты для передаточной функции по огибающей (20):

$$A_0 = a_0 = K, B_0 = 0,$$

$$A_1 = b_1 \cdot C_0^1 \cdot s^1 + a_0 = T \cdot s + 1, B_1 = b_1 \omega = T \omega,$$

$$E_0 = a_0 = K, F_0 = 0, E_1 = b_0 = 1,$$

$$F_1 = b_1 \omega^1 = T \omega.$$

После преобразований и упрощений получим:

$$W^\Omega(s) = K \cdot \frac{T \cdot s + T^2 \omega^2 + 1}{\sqrt{T^2 \omega^2 + 1} \cdot (T^2 \cdot s^2 + 2 \cdot T \cdot s + 1 + T^2 \omega^2)}. \quad (21)$$

Структурная схема модели представлена на рисунке 5. Константа D введена для исключения перемодуляции и не влияет на конечный результат.

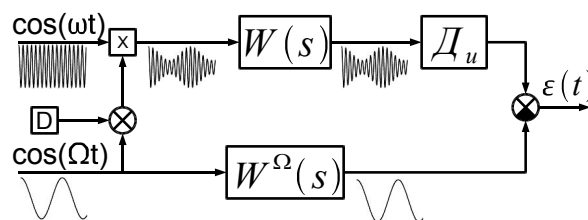


Рисунок 5 – Структурная схема модели, $\epsilon(t)$ - сигнал ошибки

Проведём моделирование (рисунок 5) при следующих параметрах:

$$K = 10;$$

$$T = 0,01;$$

$$D = 2,$$

для частот несущей $\omega = 10; 300; 1000 \text{ c}^{-1}$, при входном воздействии с частотой

$\Omega = \frac{1}{100} \omega, \frac{1}{10} \omega, \frac{1}{5} \omega$, по выражению (21) построим АЧХ и ФЧХ. На этих характеристиках точками отмечены значения амплитуды и фазы, полученные при моделировании исходной системы. В рассмотренном диапазоне наблюдается полное совпадение характеристик сравниваемых систем.

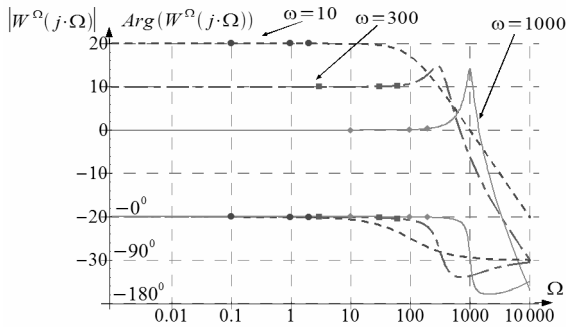


Рисунок 6 – АЧХ и ФЧХ сравниваемых систем для случая аperiodического звена

Результаты моделирования на единичный скачок $p(t) = \begin{cases} 0, t < 0 \\ 1, t \geq 0 \end{cases}$ приведены на рисунке 7.

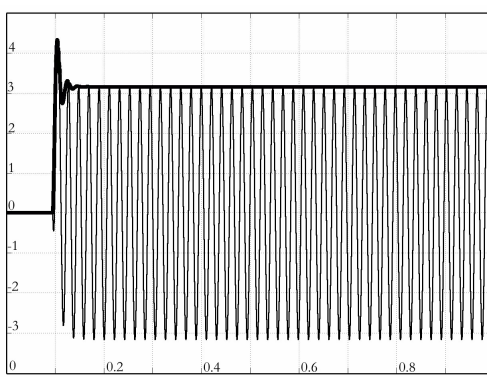


Рисунок 7 – Переходная характеристика сравниваемых систем для случая аperiodического звена при $\omega = 300 \text{ c}^{-1}$

На рисунке 7 жирной линией показана реакция эквивалентной систем для огибающей сигнала на единичный скачок, а тонкой линией показана реакция исходной системы.

Совпадение результатов реакции исходной и эквивалентной системы наблюдалось во всех трех случаях. При этом следует отметить, что в аperiodическом звене с модулированным входным сигналом появляется колебательность, что подтверждает наличие резонансных пиков в АЧХ.

Случай 2. Колебательное звено.
Передаточная функция

$$W(s) = K \cdot \frac{\omega_0^2}{s^2 + 2\xi\omega_0 s + \omega_0^2},$$

эквивалентная передаточная функция по огибающей имеет вид:

$$W^\Omega = \frac{N(s)}{D(s)},$$

где

$$N(s) = K\omega_0^2((\omega_0^2 - \omega^2)s^2 + 2\omega_0\xi(\omega_0^2 - \omega^2)s + \omega_0^4 + \omega^4 + 2\omega_0^2\omega^2(2\xi^2 - 1)),$$

$$D(s) = \sqrt{(\omega_0^2 - \omega^2)^2 + 4\xi\omega_0^2\omega^2} (s^2 + 2\omega_0^2\xi s + \omega_0^2 + \omega^2 - 2\omega_0\omega \sqrt{1 - \xi^2})$$

$$(s^2 + 2\omega_0^2\xi s + \omega_0^2 + \omega^2 - 2\omega_0\omega \sqrt{1 - \xi^2}).$$

Параметры колебательного звена:

$$K = 10;$$

$$\xi = 0.05;$$

$$\omega_0 = 100,$$

для частоты несущей $\omega = 80; 100; 105; 1000 \text{ c}^{-1}$. Моделирование проводилось при частотах входных воздействий $\Omega = \frac{1}{100}\omega, \frac{1}{10}\omega, \frac{1}{5}\omega$. Ре-

зультаты моделирования при гармоническом входном сигнале представлены на рисунке 8 точками.

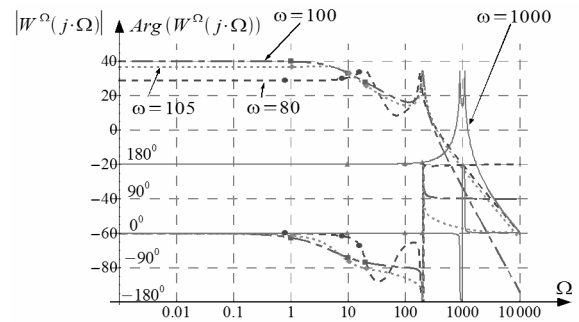


Рисунок 8 – АЧХ и ФЧХ сравниваемых систем для случая колебательного звена

Реакции исходной и эквивалентной систем на единичный скачок представлены на рисунке 9.

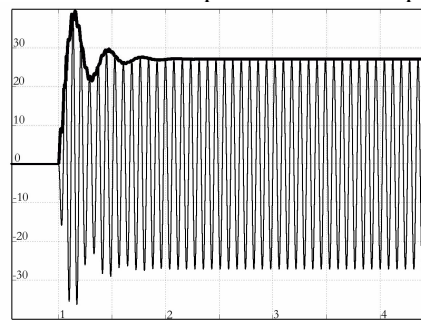


Рисунок 9 – Переходная характеристика сравниваемых систем для случая колебательного звена при $\omega = 80 \text{ c}^{-1}$

Заключение. Анализ полученных результатов для аperiodического и колебательного звеньев показал, что эквивалентная передаточная функция по огибающей с достаточной точностью описывает реакцию системы на входной сигнал как в частотной так и во временной области.

Таким образом, полученные эквивалентные передаточные функции по огибающей линейных звеньев со стационарными параметрами могут быть использованы для анализа и синтеза систем с амплитудной модуляцией.

Библиографический список

1. Ядыкин И.Б. О передаточной функции по огибающей // Автоматика и телемеханика. 1966. № 8.

2. Ядыкин И.Б. Приближенный метод отыскания передаточной функции по огибающей для линейной системы, содержащей резонансный фильтр, настроенный на частоту несущей // Автоматика и телемеханика. 1971. № 1.

3. Гоноровский И.С. Радиотехнический цепи и сигналы. М.: Изд-во "Радио и связь", 1986. 512 с.

4. Бесекерский В.А., Попов Е.П. Теория систем автоматического управления. СПб.: Изд-во "Профессия", 1972. 768 с.